

تأثیر تنفس شوری بر رشد، پارامترهای فیزیولوژیک و بیان ژنهای

تیمول و کارواکرول آویشن دنایی

Effects of salinity stress on the growth, physiological parameters and genes expression of thymol and carvacrol in *Thymus daenensis*

فoad Fatehi^{۱*}, Hamid Mohammadi^۲

Foad Fatehi^{۱*}, Hamid Mohammadi^۲

۱- گروه کشاورزی، دانشگاه پیام نور، تهران، ایران

۲- دانشکده کشاورزی، دانشگاه شهید مدنی آذربایجان، تبریز، ایران

1. Department of Agriculture, Payame Noor University (PNU), Tehran, Iran

2. Faculty of Agriculture, Azarbaijan Shahid Madani University, Tabriz, Iran

* نویسنده مسئول مکاتبات، پست الکترونیکی: fatehi.foad@gmail.com

(تاریخ دریافت: ۹۹/۱۰/۶ - تاریخ پذیرش: ۹۹/۱۲/۲۷)

<https://dorl.net/dor/20.1001.1.25885073.1399.9.2.9.4>

DOR: 20.1001.1.25885073.1399.9.2.9.4

Genetic Engineering and Biosafety Journal
Volume 9, Number 2
2021

<http://gebsj.ir/>

<https://ecc.isc.ac/showJournal/23064>

چکیده

واژه‌های کلیدی

آویشن دنایی،
تیمول،
کارواکرول،
بیان ژن،
ترکیبات فنولی

آویشن دنایی یک گیاه چند ساله متعلق به تیره نعناعیان است که حاوی مونوتراپین‌های مختلفی مثل تیمول و کارواکرول است. به منظور بررسی اثر تنفس شوری بر رشد، محتوای ترکیبات تیمول و کارواکرول و بیان ژنهای دخیل در مسیر بیوسنتزی این ترکیبات، آزمایشی در گلخانه پژوهشی در قالب طرح بلوک کامل تصادفی در سه تکرار انجام شد. نتایج نشان داد تنفس شوری تأثیر معنی‌داری بر صفات مورد مطالعه در سطح احتمال یک درصد دارد. تنفس شوری در سطح ۱۵۰ میلی-مولار باعث کاهش معنی‌دار در ارتفاع، وزن تر و خشک بوته و افزایش معنی‌دار در محتوای فنل کل، فلاونوئید و فعالیت آنزیم فنیل آلانین آمونیالیاز (PAL) گردید. همچنین محتوای تیمول و کارواکرول در شرایط تنفس شوری به طور معنی‌داری افزایش یافت که با بررسی بیان ژنهای دخیل در مسیر بیوسنتزی این ترکیبات مشخص گردید بیان ژن ۱-دی-اکسی-D-زاپلوز-۵-فسفات ردکتوایزومراز (DXR)، ترپین سیتاتاز، آلفا-ترپین سیتاتاز و گاما-ترپین سیتاتاز در شرایط تنفس شوری نسبت به شاهد افزایش یافت که این میزان افزایش در بیان ژن DXR در مقایسه با بقیه ژن‌های مورد مطالعه خیلی بیشتر بود. بنابراین می‌توان نتیجه گرفت که افزایش متابولیت‌های ثانویه تیمول و کارواکرول در گیاه داروئی آویشن دنایی در شرایط تنفس شوری عمده‌تا ناشی از افزایش بیان ژن کلیدی DXR است که با مهندسی آن در آینده انتظار می‌رود به افزایش متابولیت‌های مذکور دست یافت.

مقدمه

y-terpinene اجزای اصلی اسانس گونه‌های آویشن، شناخته شده است (Ghasemi Pirbalouti *et al.* 2013). تحقیقات نشان داده فاکتورهای مهم برای تعیین تیپ شیمیایی آویشن، مقدار تیمول و کارواکرول است (Pitarokili *et al.* 2014). وجود این دو ترکیب در گیاه آویشن باعث فعالیت بالای آنتی‌اکسیدانی می‌شوند (Nabavi *et al.* 2015).

جهت مقابله با شوری، گیاهان مکانیسم‌هایی را توسعه داده‌اند که تجمع نمک را در ارگان‌های مختلف تنظیم کند. گونه‌های گیاهی متholm معمولاً به خوبی قادرند مکانیسم حفاظتی‌شان را در برابر شرایط تنش در مقایسه با گیاهان حساس بکار بگیرند. این ممکن است شامل توزیع یون سمی در میان بافت‌ها یا در درون سلول‌ها، یا تجمع اسموლیت‌ها باشد که به حفظ فعالیت فتوستراتی کمک می‌کند (Neto *et al.* 2014; Mittovo *et al.* 2002). از طرف دیگر، به طور معمول در شرایط تنش‌های محیطی مثل شوری میزان انواع اکسیژن فعال افزایش می‌یابد و اگر پاکسازی نشوند ممکن است باعث آسیب‌های جدی اکسیداسیونی به ماکرومولکول‌ها شوند. گیاهان متholm معمولاً دارای راهبردهای دفاعی موثری برای به تعادل رساندن میزان اکسیدانت‌ها و آنتی‌اکسیدانت‌ها هستند (Mittler 2002) که سیستم‌های آنتی‌اکسیدانتی ترکیبی از آنتی‌اکسیدانت‌های آنزیمی (مثل SOD، CAT و POD) و آنتی‌اکسیدانت‌های غیر آنزیمی (مثل اسید آسکوربیک، گلوتاتیون، ویتامین E و ترکیبات فنلی) است (Xalxo and Keshavkant 2019). همچنین مطالعات نشان می‌دهد که تنش از طریق تاثیر بر مسیر بیوستراتی متابولیت‌های ثانویه گیاهان داروئی می‌تواند منجر به افزایش اسانس شود. چون این ترکیبات می‌توانند نقش دفاعی برای گیاهان داشته باشند (Bistgani *et al.*, 2017). تیمول و کارواکرول از جمله متابولیت‌های ثانویه هستند و جزو مونوترپین‌های فنولی می‌باشند که به دلیل فعالیت بالای آنتی‌اکسیدانتی در این زمینه می‌توانند نقش حفاظتی داشته باشند (Nabavi *et al.* 2015).

با توجه به اینکه تحقیقات نشان داده فاکتورهای مهم برای تعیین تیپ شیمیایی آویشن، مقدار تیمول و کارواکرول است (Pitarokili *et al.* 2014) وجود این دو ترکیب در گیاه آویشن

نش شوری یکی از مهمترین فاکتورهای محیطی است که تولید گیاهان را در سراسر دنیا محدود می‌کند (Wan *et al.* 2018). مطالعات نشان داده که در گونه‌های گیاهی حساس، شوری هم باعث کاهش آب و هم سمیت بونی می‌شود و منجر به کمبود مواد غذایی، کاهش رشد و حتی مرگ گیاهان می‌شود (Munns 2008). آویشن (*Thymus. sp.*) یکی از بزرگ‌ترین جنس‌ها در خانواده‌ی نعنایان است. در حال حاضر، ۲۱۴ گونه و ۳۶ زیرگونه از آن‌ها شناسایی شده است. بیشترین گیاهان جنس آویشن به طور گسترده‌ای در مناطق مختلف جهان به عنوان نوشیدنی (چای)، طعم دهنده‌ی غذایی (ادویه و چاشنی) و داروی گیاهی به کار می‌رود (Stahl-Biskup and Saez 2002). کشور ایران به دلیل وسعت و تنوع شرایط اکولوژیکی، تعداد قابل توجهی از گونه‌های آویشن را دارا می‌باشد (Shayganfar *et al.* 2018). آویشن دنایی گیاهی پایا و بوته‌ای است عمدتاً در کوه‌های زاگرس و البرز، ارتفاعات کوهستانی و دامنه‌های غرب و جنوب غربی ایران یافت می‌شود (Abdollahi Arpanahi and Feizian, 2019). گیاه آویشن دنایی دارای اسانس می‌باشد که حاوی ترکیبات شیمیایی متعددی است که دو ایزومر تیمول و کارواکرول از مهم ترین آن‌ها می‌باشد (Heydari *et al.* 2019).

ترکیبات شیمیایی غالب در پیکر رویشی گونه‌های مختلف آویشن، اسانس می‌باشد. غیر از اسانس ترکیباتی مانند تانن، ساپونین، فلاونوئید و مواد تلخ در پیکر رویشی آویشن وجود دارد (Stahl-Biskup and Saez 2002). مطالعات نشان می‌دهد که گونه‌های مختلف این جنس از نظر ترکیبات موجود در اسانس در دو گروه گونه‌های دارای ترکیبات فنولی شامل دو تیپ تیمول و تیپ کارواکرول و گونه‌های دارای ترکیبات غیرفنولی شامل تیپ مونوترپین‌های هیدروکربنی و تیپ مونوترپین‌های الکی می‌باشند. شرایط محیطی رویشگاه‌ها در نمو هر کدام از تیپ‌های فنولی و غیر فنولی نقش داشته که این نقش می‌تواند به ظهور تدریجی یک تیپ شیمیایی مشخص منجر گردد (Senatore *et al.* 1998). مونوترپین‌ها از شایع‌ترین متابولیت‌ها در اسانس گیاهان دارویی است. مطالعات نشان داده تیمول، کارواکرول، *p*-cymene و

کاغذ صافی عبور داده، و عصاره بدست آمده را تا زمان آزمایش در شیشه‌های کوچک تیره رنگ و در دمای ۴ درجه سانتی‌گراد نگهداری شدند.

محتوى فلاونوئید کل: این سنجش به روش Chang و همکاران (2002) انجام شد. به این ترتیب، به $0/5$ میلی‌لیتر از عصاره متانولی، $0/1$ میلی‌لیتر از کلرید آلومینیوم 10 درصد اضافه گردید. پس از آن، $0/1$ میلی‌لیتر از استات پتاسیم 1 مولار و در پایان $2/8$ دقیقه میلی‌لیتر آب مقطر اضافه شد. بعد از گذشت مدت زمان $4/5$ نانومتر اندازه-در دمای آزمایشگاه، جذب آن‌ها در طول موج $4/5$ نانومتر اندازه-گیری شد. سپس منحنی استاندارد بر اساس غلظت‌های متفاوت کرستین رسم و در نهایت میزان فلاونوئید معادل کرستین در هر گرم پودر خشک گیاه (mg DW^{-1}) تعیین گردید.

محتوى فنل کل: به 1 میلی‌لیتر از عصاره متانولی، 1 میلی‌لیتر کلریدریک اسید 6 مولار و 5 میلی‌لیتر متانول 75 درصد افزوده و در لوله‌های درب‌دار در بن ماری 90 درجه سانتی‌گراد به مدت 2 ساعت قرار داده شد. سپس در دمای اتاق سرد و پس از آن توسط آب مقطر به حجم 10 میلی‌لیتر رسانده شد. به 1 میلی‌لیتر از محلول اخیر در لوله‌های مجزا، 1 میلی‌لیتر کربنات سدیم 2 درصد)، $1/5$ میلی‌لیتر آب دوبار تقطیر و 50 میکرو‌لیتر معرف فولین سیوکالتو (50 درصد) اضافه گردید. بعد از گذشت نیم ساعت میزان جذب محلول حاصل را در طول موج 725 نانومتر توسط دستگاه اسپکتروفوتومتر بیوی دار (PG Instrument LTD T80⁺ UV/VIS, UK) نسبت به شاهد (معرف فولین- سیکالتو) قرائت گردید. از اسید گالیک به عنوان استاندارد برای رسم منحنی استاندارد استفاده شد. از غلظت‌های مختلف اسید گالیک در متانول برای بدست آوردن منحنی استاندارد استفاده گردید.

محتوى فنل کل عصاره با استفاده از منحنی استاندارد بر اساس میلی‌گرم معادل اسید گالیک بر گرم وزن خشک گیاه (mg GAE DW⁻¹) تعیین شد (Singleton and Rossi 1965).

سنجد فعالیت آنزیم فنیل آلانین آمونیالیاز: مقدار $0/3$ گرم از بافت تازه برگ را توزین کرده و در $6/5$ میلی‌لیتر بافر Tris-HCl 50 میلی‌مولار ($\text{pH}=8/8$) روی یخ ساییده شد و عصاره حاصل به مدت 30 دقیقه با دور 5000 rpm سانتریفیوژ گردید. محلول رویی

باعث فعالیت بالای آنتی‌اکسیدانی می‌شوند (Nabavi et al. 2015) و همچنین مطالعات بسیار اندکی در زمینه تاثیر تنش شوری بر بیomas، متابولیت‌های ثانویه و مسیر بیوسنتزی آن صورت گرفته است. لذا آزمایشی طراحی شد که هدف از آن تاثیر تنش شوری ناشی از کلرید سدیم با غلظت‌های مختلف بر رشد، محتوای ترکیبات تیمول و کارواکرول و بیان ژنهای آن‌ها بود.

مواد و روش‌ها

این مطالعه در گلخانه پژوهشی دانشکده کشاورزی دانشگاه تهران در قالب طرح بلوك کامل تصادفی با 3×3 تکرار به صورت کشت در گلدان انجام شد. بستر کاشت استفاده شده بر اساس تحقیقات، حاوی کوکوپیت و پرلایت به نسبت $1/3$ به $3/1$ بود. بذرها پس از ضدعفونی در گلخانه تحقیقاتی دانشکده کشاورزی دانشگاه تهران کشت شد و 4 ماه پس از کشت، تیمار شوری (شامل سطوح شوری 0 و 150 میلی‌مولار سدیم کلرید) به مدت 4 هفته اعمال گردید. پس از اعمال تنش، صفات ارتفاع گیاه، وزن تر و خشک اندام هوایی، فنل کل، فلاونوئید، فعالیت آنزیم فنیل آلانین آمونیالیاز و درصد تیمول و کارواکرول موجود در عصاره مورد اندازه‌گیری قرار گرفت. قسمتی از گیاهان جهت بررسی بیان ژن‌های مورد مطالعه در فریزر -80°C تا زمان انجام آزمایش نگهداری شدند.

اندازه‌گیری صفات مورفو‌لوژیک: در پایان دوره تنش شوری که متقارن با شروع گلدهی نیز بود صفات ارتفاع بوته، وزن تر و خشک اندام هوایی اندازه‌گیری گردید.

استخراج عصاره گیاهی با روش التراسونیک: استخراج عصاره گیاهی با استفاده از روش التراسونیک انجام گرفت (Başkan et al. 2007). جهت استخراج عصاره گیاهی از دستگاه التراسونیک مدل 405 ، ساخت شرکت هاوشنین تکنولوژی کره جنوبی استفاده گردید. بدین منظور، $0/5$ گرم گیاه خشک آسیاب شده، توزین و در داخل ارلن 25 میلی‌لیتری قرار داده شد. پس از آن 10 میلی‌لیتر حلال متانول- آب به آن اضافه گردید، و سپس به مدت 30 دقیقه در حمام التراسونیک قرار داده شد. پس از آن محتویات ارلن را از

بررسی بیان ژن‌های مسیر بیوستز تیمول:

استخراج RNA کل: برای استخراج RNA کل بافت گیاهی از روش کومزینسکی و ساچی ۱۹۸۷ که مبتنی بر تراپیزول و رسوب الكلی می‌باشد استفاده گردید (Chomczynski and Sacchi, 1987).

تیمار DNase: برای حذف آلودگی احتمالی DNA موجود در نمونه‌ها از روش تیمار با آنزیم DNase I استفاده گردید. در این روش مقدار ۵ میکروگرم نمونه RNA با ۱/۵ میکرولیتر آنزیم DNase I (Fermentase, USA) DNase I مقدار ۲ میکرولیتر EDTA با غلظت ۵۰ میلی مolar اضافه و به مدت ۱۵ دقیقه در دمای ۷۵ درجه سانتی‌گراد قرار داده شد. در نهایت نمونه‌ها برای خوانش نهایی غلظت RNA کل باقیمانده نمونه‌ها در دستگاه Nanodrop مورد بررسی قرار گرفتند.

بررسی کمی و کیفی RNA استخراج شده: نمونه‌های RNA استخراج شده برای ارزیابی یکپارچگی و همچنین غلظت آن‌ها به ترتیب با ژل آگارز ۱٪ و خوانش اسپکتروفتومتری ۲۶۰، ۲۸۰ و ۲۳۰ نانومتری در دستگاه NanoDrop (ThermoScientific 2000c, USA) مورد بررسی قرار گرفتند.

ستز cDNA از RNA: در این تحقیق برای تبدیل RNA کل استخراج شده به DNA مکمل یا cDNA از روش استفاده همزمان Reverse OligoT و پرایمرهای تصادفی در حضور آنزیم transcriptase و بکار بردن مقدار ۱ میکروگرم RNA برای انجام واکنش استفاده گردید.

طراحی پرایمر: جهت طراحی پرایمرهای اختصاصی برای ژن‌های *TPS1*, *TPS2*, *DXR*, *18srRNA*, *TPS5* و ژن کنترل *TTS5* موردنیاز برای این مطالعه، توالی‌های گزارش شده در بانک جهانی داده‌های بیوتکنولوژی مربوط به این ژن‌های گرفته شد و در نرمافزار Bioedit (Hall 1999) همردیف سازی توالی‌ها صورت گرفت. نواحی محافظت‌شده این ژن‌ها شناسایی و برای طراحی پرایمر در نرمافزار Oligo7 (Rychlik, 2007) مورد استفاده قرار

از رسوب جدا شد این محلول حاوی آنزیم PAL است. محلولی از یک میلی لیتر بافر استخراجی بالا، ۰/۵ میلی لیتر فنیل آلانین ۱۰ میلی مolar، ۰/۴ میلی لیتر از عصاره آنزیمی در حمام آب گرم ۳۷ درجه سانتی‌گراد به مدت یک ساعت قرار داده شد. سپس واکنش توسط ۰/۵ میلی لیتر کلریدریک اسید ۶ مولار متوقف گردید. در نهایت، به محلول حاصل ۱۵ میلی لیتر اتیل استات افزوده شد. فاز روغنی تشکیل شده جدا و باقیمانده در دمای آزمایشگاه قرار داده شد تا تبخیر شود. سپس باقیمانده، که همان سینامیک اسید است در ۳ میلی لیتر سود ۰/۰۵ مولار حل شد و غلظت سینامیک اسید با اندازه‌گیری میزان جذب در طول موج ۲۹۰ نانومتر بدست آمد. فعالیت آنزیم بر اساس میکرومول بر میلی‌گرم پروتئین گزارش گردید (Lister et al. 1996).

اندازه‌گیری میزان تیمول و کارواکرول: برای اندازه‌گیری میزان تیمول و کارواکرول از روش کروماتوگرافی مایع با کار آبی بالا (HPLC) استفاده شد. جهت آماده سازی نمونه‌های گیاهی برای عصاره گیری، ابتدا نمونه‌ها در دمای اتاق و دور از نور خشک شد. سپس ۰/۵ گرم بافت خشک و آسیاب شده با ۲۵ میلی لیتر اتانول ۸۰ درصد (۸۰ درصد اتانول و ۲۰ درصد آب) مخلوط شد. فرایند استخراج به مدت ۱۵۰ دقیقه و در دمای ۲۵ درجه سانتی‌گراد بر روی شیکر ادامه یافت. در نهایت محلول حاصل توسط کاغذ صافی و اتمن صاف گردید. پس از سانتریفیوژ (به مدت ۵ دقیقه و دور ۴۰۰۰rpm) کردن محلول کاملاً صاف و شفاف به دست آمد. ۵۰ میکرولیتر از عصاره تهیه شده به دستگاه HPLC مدل (KNAUER-Germany) تزریق گردید. این دستگاه مجهز به تشخیص دهنده UV مدل K2501 و ستون (Vertex) C18 (دارای اندازه ذرات ۵ میکرومتر طول ۲۵۰ میلی‌متر و قطر ۴ میلی‌متر بود. اندازه‌گیری تیمول و کارواکرول در طول موج ۲۸۰ نانومتر انجام شد. جهت آنالیز کمی ترکیبات، با تزریق محلول‌های استاندارد با غلظت‌های معین و به دست آوردن سطح زیر پیک هر کدام، منحنی کالیبراسیون مربوط به هر ترکیب رسم شد و با استفاده از معادله خطی منحنی کالیبراسیون، میزان کلی هر کدام از مواد مورد نظر در عصاره تعیین گردید (Mišan et al. 2011).

قرار گرفت. لیست پرایمرهای طراحی شده برای دستیابی به توالی ژن‌های مورد مطالعه در جدول (۱) نشان داده شده است.

گرفت. در نهایت پرایمرهای طراحی شده برای ارزیابی اختصاصی بودن در نرمافزار primer-BLAST سایت NCBI مورد آزمون

جدول ۱- لیست آغازگرهای طراحی شده

Table 1. Primer sequences

نام آغازگر Primer name	توالی Sequence (5'-3')	دماهی ذوب Tm (°C)	اندازه قطعه مورد تکثیر Amplicon size (bp)
DXR-F	TATGACTTCGAGGCCCTTGTAAAGAG	62	195
DXR-R	TGTATCCAAGGCTTGCAGAAGG	62	
TPS1-F	GAGGGAAAGGCAGAACACAC	56	140
TPS1-R	TCCAGTGAAGAGGGAGATCC	55	
TPS2-F	GCTGAAGAGAGGGGACGTG	59	
TPS2-R	CTCCCGCAGCAGATACTTCAC	60	103
TPS5-F	GATACAAATGCGTCGGAGGAGG	61	
TPS5-R	CTGTAGCCTCCACCACCTGTT	60	133
18srRNA-F	ATGTTAGAAGGGTGAGTGAGCAGTTAC	59	
18srRNA-R	GCCTCATCATCATACTCTCCTCATCATC	60	191

نتایج و بحث

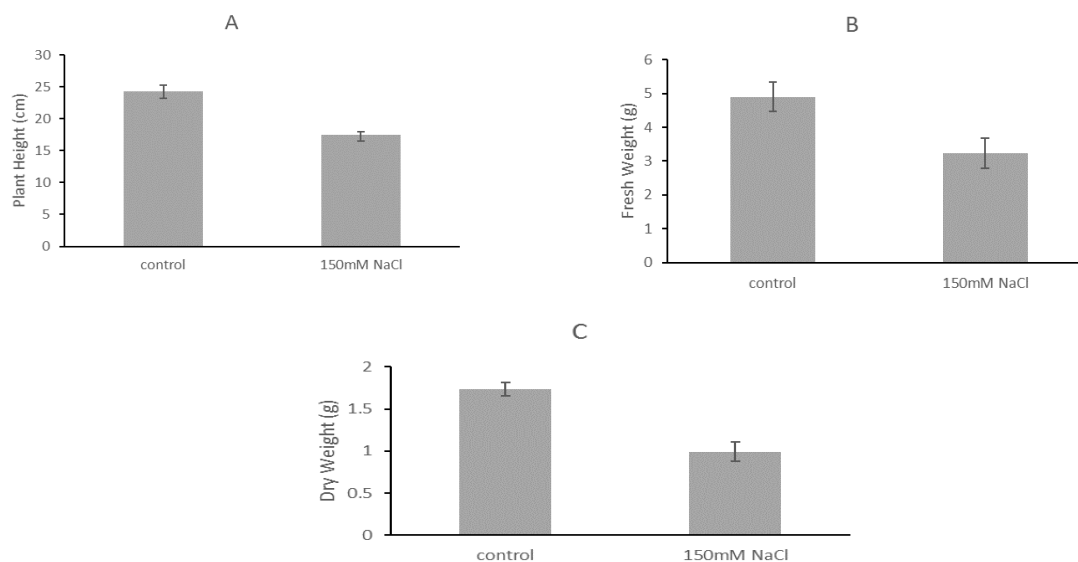
صفات مورفولوژیک: نتایج نشان داد ارتفاع بوته آویشن دنایی در شرایط تنش شوری کاهش یافت (شکل ۱). میزان کاهش در ارتفاع بوته در شرایط تنش شوری نسبت به شاهد ۲۷/۸ درصد بود. همچنین کاهش ۳۴/۰۱ و ۴۲/۹۹ درصدی به ترتیب در وزن تر و خشک بوته در شرایط تنش شوری نسبت به شاهد مشاهده شد (شکل ۱). مطالعات نشان داده که تنش شوری می‌تواند به عنوان بازدارنده رشد گیاه در برخی از گیاهان دارویی باشد (Said-Al Ahl and Omer 2011; Aziz *et al.* 2008) و مشخص شده که شوری باعث کاهش محتوای کلروفیل‌ها شده که این کاهش می‌تواند مربوط به بازدارندگی سنتز کلروفیل به همراه افزایش تجزیه کلروفیل باشد. عدم تعادل در متابولیسم کلروفیل منجر به کاهش فتوسنتز و احتمالاً مرگ گیاه در شرایط حاد باشد.

بررسی فنل کل، فلاونوئید و فعالیت آنزیم فنیل آلانین آمونیالیاز: داده‌ها نشان داد افزایش قابل توجهی در غلظت فنل کل در گیاهان تحت تنش شوری در مقایسه با شاهد وجود دارد (شکل ۲).

واکنش PCR در زمان واقعی: برای انجام بررسی بیان ژن به روش Real Time PCR از روش مبتنی بر رنگ فلورسنس استفاده گردید. در این روش ابتدا در دستگاه ترموسایکلر معمولی شرایط انجام واکنش PCR شامل حجم واکنش، غلظت پرایمر، دماهی اتصال پرایمرهای مدت زمان لازم برای بسط قطعه، غلظت $MgCl_2$ و سایر عوامل مؤثر بر تکثیر بهینه گردید و شرایط بهینه بدست آمده در دستگاه StepOne Real Time PCR (ABI, USA) اجرا گردید.

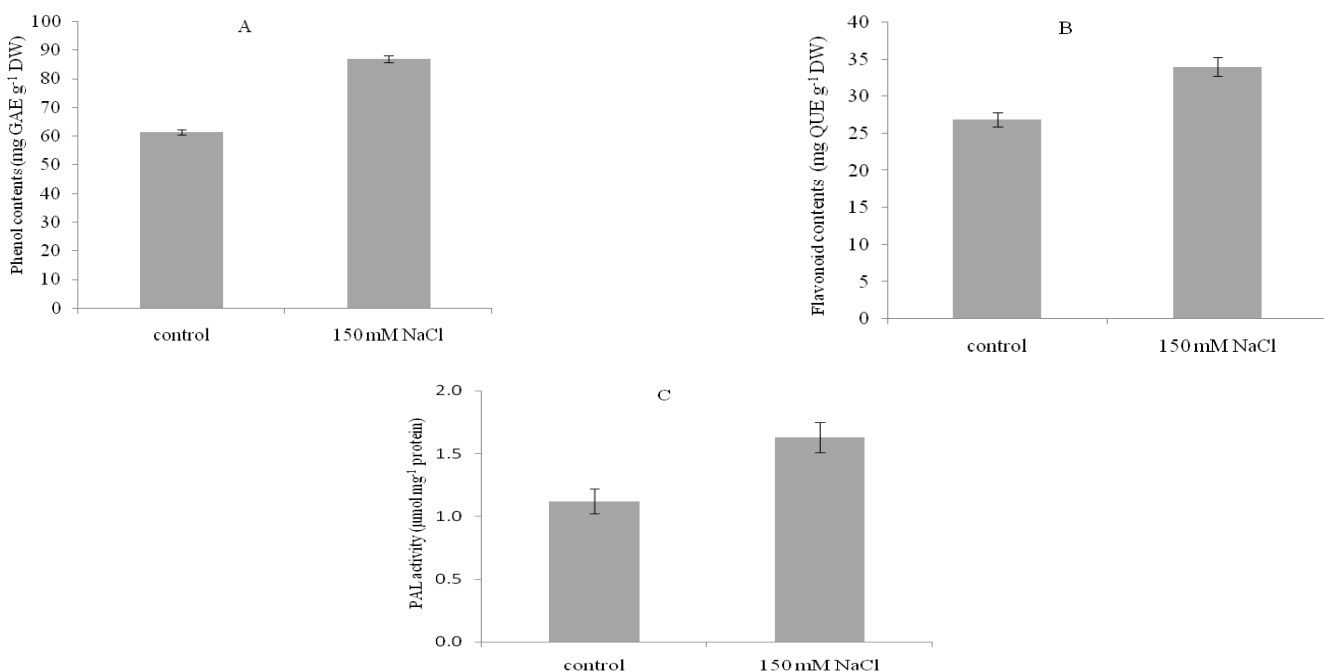
واکنش تکثیر این ژن‌ها به صورت ۱۰ دقیقه و اسرشته سازی اولیه و ۴۰ چرخه (با دماهی و اسرشته سازی اولیه ۹۴ درجه سانتی‌گراد به مدت ۳۰ ثانیه، اتصال پرایمر در دماهی بهینه آورده شده در جدول به مدت ۳۰ ثانیه و بسط آنزیمی در دماهی ۷۲ درجه سانتی‌گراد به مدت ۲۰ ثانیه) صورت گرفت.

آنالیز داده‌ها: تجزیه و تحلیل داده‌ها پس از نمونه‌برداری و اندازه‌گیری صفات با نرمافزار SAS (ver. 9.2) انجام شد، مقایسه میانگین تیمارها نیز به روش آزمون PLSD در سطح احتمال ۵٪ انجام شد. داده‌های به دست آمده از آنالیز بیان ژن با استفاده از روش دلتا Ct ($\Delta\Delta Ct$) تصحیح شده با بازدهی تکثیر (Livak and Excell 2001) مورد آنالیز قرار گرفتند و در نرمافزار Schmittgen 2001 وارد شدند. برای مقایسه هر تیمار با شاهد آزمون تی تست انجام شد.



شکل ۱- مقایسه میانگین صفات ارتفاع بوته (A)، وزن تر (B) و وزن خشک (C) اندام هوایی گیاه داروئی آویشن دنایی تحت تنش شوری.

Figure 1. Mean comparison of plant height (A), shoot fresh weight (B) and dry weight (C) of *Thymus daenensis* medicinal plant under salinity stress.



شکل ۲- مقایسه میانگین صفات محتوای فنل کل (A)، فلاونوئید (B) و فعالیت آنزیم PAL (C) اندام هوایی گیاه داروئی آویشن دنایی تحت تنش شوری.

Figure 2. Mean comparison of total phenol (A), flavonoid content (B) and PAL enzyme activity (C) of *Thymus daenensis* medicinal plant under salinity stress.

نیز در شرایط تنش شوری نسبت به بدون تنش شوری افزایش پیدا کرد (شکل ۲). مطالعات نشان می‌دهد گیاهان در پاسخ به شرایط نامساعد محیطی مانند شوری، متابولیت‌های ثانویه پلیفنلی با وزن مولکولی پایین مانند فلاونوئیدها را تولید می‌کنند، تا

این افزایش می‌تواند منجر به بهبود سیستم آنتی‌آکسیدانتی گیاهان در سزمزدایی انواع اکسیژن فعال شود و همچنین می‌تواند به عنوان منبع کربنی تحت شرایط تنش عمل کند (Weidner et al. 2009.). همچنین مقایسه میانگین داده‌ها نشان می‌دهد محتوای فلاونوئید

می‌شوند. مونوترپین‌ها از GPP تولید می‌شوند. ژن‌های مرتبط با مرحل انتهایی که منجر به بیوسنتز تیمول می‌شوند شامل ترپین سیتیاز، گاما ترپین سیتیاز و خانواده سیتوکروم ۷۱ P ۴۵۰ است (Dudareva *et al.* 2005). مطالعات نشان می‌دهد که مسیر MEP منجر به تولید دی‌ترپین‌ها و مونوترپین‌ها در کلروپلاست می‌شود، در حالی که مسیر MVA در سیتوپلاسم قرار دارد و منجر به تولید سزکوئی‌ترپین‌ها می‌شود (Lee *et al.* 2015). با توجه به اینکه ژن DXR نقش کنترل کننده و کلیدی در مسیر مตیل اریتریول فسفات (MEP) دارد بدین ترتیب که پیروات و گلیسر آلدید-۳-فسفات در پلاستیدها با هم ترکیب و به ۱-دی‌اکسی زایلو-۵-فسفات (DXP) تبدیل و این ماده بواسطه فعالیت آنزیم ۱-دی‌اکسی-D-زایلوز-۵-فسفات رداکتوایزومراز (DXR) به طور غیر قابل برگشتی تبدیل به متیل اریتریول فسفات (MEP) می‌شود. این مرحله به عنوان اولین مرحله کلیدی در مسیر MEP به حساب می‌آید (Takahashi *et al.* 1998). ژرانیل پیروفسفات سیتیاز (GPS) آنزیم کلیدی در مسیر بیوسنتزی است که اتصال سر به دم IPP و DMAPP به ژرانیل پیروفسفات (GPP) به عنوان اصلی-ترین پیش‌ماده مونوترپین‌ها را کاتالیز می‌کند (Lichtenthaler 1999; Cheng *et al.* 2007).

میزان بیان ژن ترپین سیتیاز در سطح ۱۵۰ میلی مولار کلرید سدیم، افزایش ۸۵/۸۵ درصدی نسبت به شرایط شاهد نشان داد (شکل ۳). ژن ترپین سیتیاز از جمله ژن‌های اصلی دخیل در بیوسنتز تیمول بوده و آنزیم ترپین سیتیاز (TPS) واسطه‌های پرنیل پیروفسفات (GPP) و (FPP) را به ترتیب به مونوترپین و سزکوئی‌ترپین تبدیل می‌کند. بنابراین تغییر در بیان ژن ترپین سیتیاز می‌تواند تاثیرات قابل توجهی بر محصولات تیمول داشته باشد (Trindade *et al.* 2018).

نتایج بیان ژن آلفا و گاما ترپین سیتیاز نشان داد شوری ۱۵۰ میلی مولار کلرید سدیم به ترتیب افزایش اندک (۱۲/۲۸ درصد) و زیاد (۳۹/۳۵ درصد) در بیان ژن‌های آلفا و گاما ترپین سیتیاز نسبت به شرایط شاهد نشان داد (شکل ۳). با توجه به اینکه در مسیر بیوسنتزی تیمول، ژرانیل پیروفسفات به آلفا پینول تبدیل شده و این ترکیب تحت تاثیر فعالیت آنزیم آلفا ترپین سیتیاز به آلفا ترپین تبدیل می‌شود. همچنین آنزیم گاما-ترپین سیتیاز از

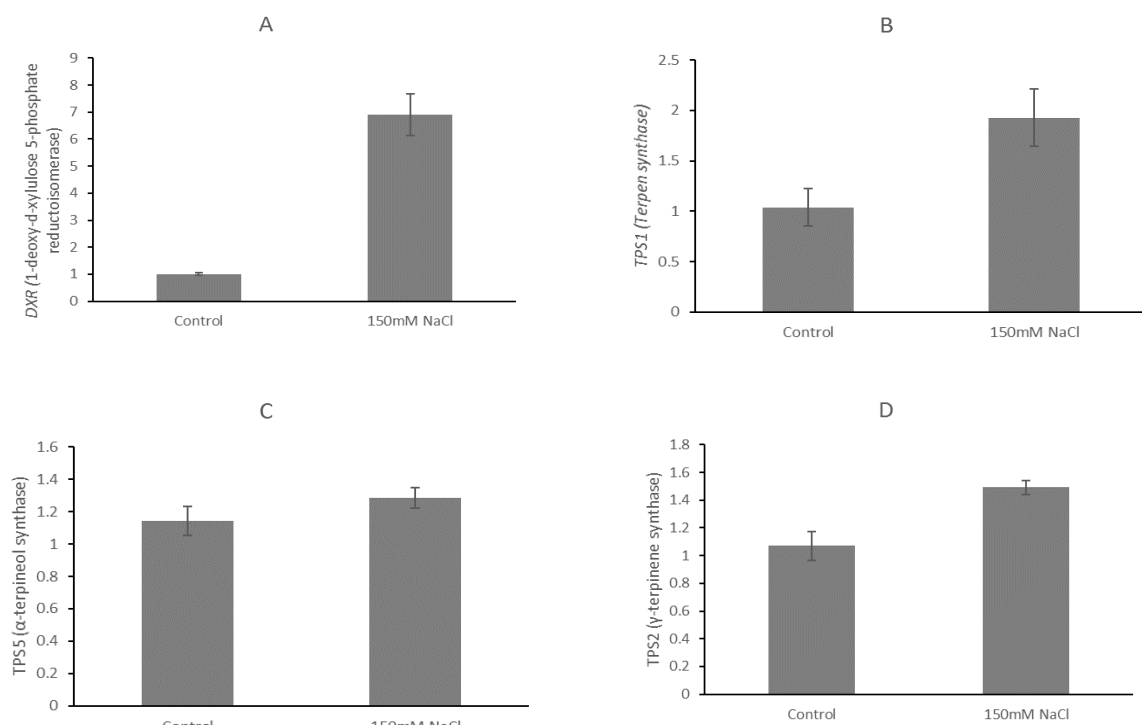
بتوانند به واسطه تعديل انوع اکسیژن فعال (ROS) در بافت‌های گیاهی، نقش دفاعی خود را به عنوان آنتی‌اکسیدان ایفا کنند (Khalid *et al.*, 2019).

نتایج نشان داد فعالیت آنزیم فنیل آلانین آمونیالیاز (PAL) به طور معنی‌داری در گیاهان تحت تنش شوری ۱۵۰ میلی مولار در مقایسه با بدون تنش افزایش یافت (شکل ۲). PAL آنزیم کلیدی مسئول بیوسنتز ترکیبات فنلی و اکثر متابولیت‌های ثانویه در گیاهان است که دارای خصوصیات آنتی‌اکسیدانتی هستند و می‌توانند به گیاهان کمک کنند که در شرایط نامساعد محیطی منجر به پاک‌سازی انوع اکسیژن فعال شوند (Taiz and Zeiger 2002). در این مطالعه، افزایش محتوى فنل تحت شرایط تنش خشکی ممکن است ناشی از کاهش انتقال قندهای محلول و تجمع کربوهیدرات‌ها، و یا افزایش فعالیت آنزیم فنیل آلانین آمونیالیاز (PAL) در گیاهان باشد (Ghadyeh Zarrinabadi *et al.* 2019).

به طور معمول ترکیبات فنلی توسط مسیر فنیل پروپانوئید سنتز می‌شوند، که در آن آنزیم PAL نقش کلیدی در تغییر متابولیت‌های اولیه برای تولید متابولیت‌های ثانویه بازی می‌کند (Darvizzeh *et al.* 2018).

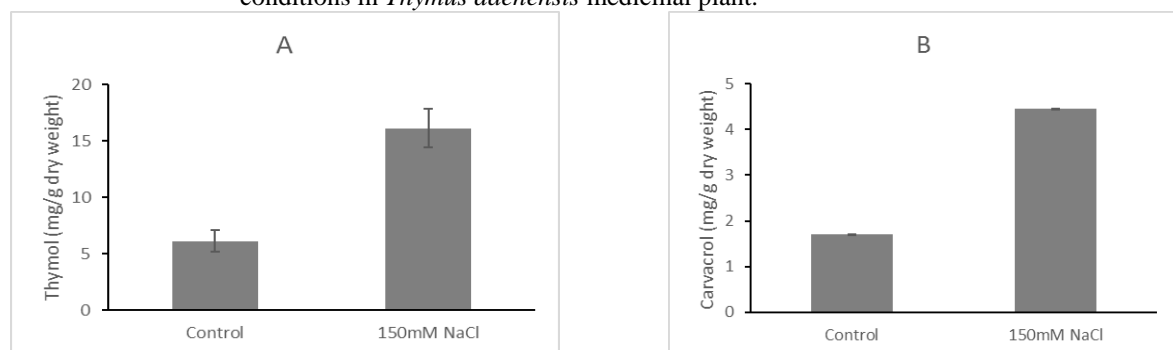
های کل و فلاونوئیدها سنتز می‌کند (Jaafar *et al.* 2012). بررسی بیان ژن: بررسی بیان ژن‌های کلیدی دخیل در مسیر بیوسنتزی تیمول و کارواکرول با روش qRT-PCR نشان داد بیان ژن ۱-دی‌اکسی-D-زایلوز-۵-فسفات رداکتوایزومراز (DXR) در شرایط تنش شوری نسبت به شاهد افزایش ۵۸۶/۷۳ درصدی را نشان داد (شکل ۳). مطالعات نشان می‌دهد که تنش از طریق تاثیر بر مسیر بیوسنتزی متابولیت‌های ثانویه گیاهان داروئی می‌تواند منجر به افزایش اسانس شود. چون این ترکیبات می‌توانند نقش دفاعی برای گیاهان داشته باشند (Bistgani *et al.* 2017). مسیر بیوسنتزی تیمول و کارواکرول اخیراً شناسایی شده است (Crocoll 2011). تیمول و کارواکرول به عنوان مونوترپین‌های فنولی از دی-متیل آلیل دی‌فسفات (DMAPP) و ایزوپنتنیل دی‌فسفات (IPP) سنتز می‌شوند که به ترتیب از طریق مسیرهای موالونیک اسید (MVA) و متیل اریتریول-۴-فسفات (MEP) تولید می‌شوند. سپس DMAPP و IPP به ژرانیل پیروفسفات (GPP) و ژرانیل ژرانیل پیروفسفات (GGPP) و فارنسیل پیروفسفات (FPP) تبدیل

و گاما-ترپین صورت می‌گیرد (Rahimmalek and Goli 2013) گزارش‌های دیگری نیز نشان می‌دهد که همبستگی زیادی بین غلظت ترپن‌ها و سطوح بیان mRNA ها در مسیر بیوسترنی مرتب وجود دارد به عبارتی بیوسترن ترپن‌های در سطوح رونویسی تنظیم بالایی را نشان می‌دهند (Crocoll et al. 2010). به طوری که مطالعات Mendes و همکاران (۲۰۱۳) مشخص نمود که سطوح رونوشت‌برداری آلفا ترپین سیتاز در شاخصاره‌های سطوح رونوشت‌برداری آلفا ترپین *Thymus caespititius* بالا بود.



شکل ۳- مقایسه میانگین بیان ژن‌های DXR (A)، TPS (B)، آلفا (C) و گاما (D) ترپین سیتاز تحت شرایط تنش شوری در گیاه داروئی آویشن دنایی.

Figure 3. Mean comparison of gene expression of DXR (A), TPS (B), α - (C) and γ -Terpinene synthase under salinity stress conditions in *Thymus daenensis* medicinal plant.



شکل ۴- مقایسه میانگین محتوای تیمول (A) و کارواکرول (B) تحت شرایط تنش شوری در گیاه داروئی آویشن دنایی.

Figure 4. Mean comparison of thymol (A) and carvacrol (B) contents under salinity stress in *Thymus daenensis* medicinal plant.

اما در ترکیب اسانس نتایج متفاوتی مشاهده شد به عنوان مثال از ترکیبات اسانس مثل کارواکرول افزایش ولی γ -trepine Neffati and coriander Marzouk 2008). مطالعات نشان داد که افزایش تراکم غدد اسانس همراه با تعداد بیشتر تولید غدد در طول تنش می‌تواند دلیلی برای تجمع اسانس در برخی از گونه‌های گیاهی باشد. عامل دیگر می‌تواند اسیمیلاسیون خالص یا توزیع اسیمیلاتها در طول فرایندهای رشد و تمایز باشد. گاهی اوقات، کاهش در متابولیسم اولیه گیاهان در طول تنش می‌تواند منجر به تجمع محصولات واسطه ویژه شود که این ترکیبات حد واسط می‌تواند به سمت سنتز متابولیتهای ثانویه از جمله اسانس شیفت پیدا کند. در گیاهانی که سطوح متابولیتهای ثانویه در شرایط تنش کاهش پیدا می‌کند این می‌تواند مربوط به آنابولیسم کلی باشد که در شرایط تنش شوری بازداری می‌شود (Said-Al Ahl and Omer 2011).

نتایج ما نشان داد افزایش در فعالیت آنزیم PAL در شرایط تنش شوری می‌تواند منجر به افزایش ترکیبات فنولی شود و این ترکیبات می‌توانند در فرایند سازگاری گیاهان به شرایط تنش شوری موثر واقع شوند. همچنین، برای تمامی ژن‌های مورد مطالعه در مسیر بیوسنتری تیمول و کارواکرول، بیان ژن در شرایط تنش شوری در مقایسه با شرایط بدون تنش بالاتر بود که این نشان می‌دهد موقعی که یک گیاه در معرض تنش‌های غیر زیستی بويژه شوری است، بیان تعدادی از ژن‌ها تغییر می‌کند و منجر به تغییر سطوح چندین پروتئین و متابولیت در درون سلول می‌شود. تغییر بیان این ژن‌ها ممکن است برای اعطاء محافظت یا حساسیت به تنش‌های غیر زیستی مسئول باشند. همچنین نتایج نشان داد که ژن کلیدی DXR می‌تواند نقش اصلی در تنظیم محتوای تیمول و کارواکرول در گیاه آیشن دنایی داشته باشد که افزایش میزان آن در شرایط تنش شوری ۱۵۰ میلی‌مولاًر نیز دلیلی بر این مدعاست. بنا بر نتایج بدست آمده آویشن دنایی توانایی رشد در زمین‌های با شوری متوسط جهت تولید عملکرد بیولوژیکی و متابولیکی قابل قبول را دارا می‌باشد.

بررسی محتوای تیمول و کارواکرول: نتایج آزمایش حاضر نشان داد محتوای تیمول آویشن دنایی در شرایط تنش شوری در مقایسه با شرایط بدون تنش شوری افزایش ۱۶۳/۳۴ درصدی داشت (شکل ۴). همچنین افزایش ۱۶۲/۲۰ درصدی در محتوای کارواکرول در شرایط تنش شوری نسبت به شاهد مشاهده شد (شکل ۴). مطالعات متعددی نشان می‌دهد محتوای اسانس و در نتیجه بیوسنتر تیمول و کارواکرول و تجمع آن‌ها در بافت‌های مختلف یا در واکنش به عوامل محیطی مختلف متفاوت است (Mohammadi et al. 2018; Shiyab et al. 2012; Majidi et al. 2017). به نظر می‌رسد که تحت شرایط تنش، تراکم بالاتر غدد کرکی منجر به افزایش تجمع اسانس می‌شود یا به علت تولید ترپین بیشتر که ناشی از توزیع اندک کرین در نمو است باشد که Turtola et al. 2003). تولید متابولیتهای ثانویه در گیاهان تحت تأثیر عوامل متعددی از جمله شرایط محیطی و عوامل ژنتیکی، نوع گونه‌های گیاهی، مراحل نموی، شرایط فصلی خاص، قابلیت دسترسی مواد غذایی قرار می‌گیرد که در این بین، شرایط تنش مهم‌ترین عامل تأثیرگذار بر بیوسنتر متابولیتهای ثانویه است (Liang et al. 2019). این ترکیبات ممکن است تعدادی فعالیت بیولوژیکی نیز داشته باشند (Zhang et al. 2018). کشت گیاه داروئی زمانی اقتصادی است که مقدار متابولیتهای اولیه و ثانویه آن در حد مطلوب باشد. تنش‌های غیر زیستی باعث افزایش متابولیتهای ثانویه گیاهان داروئی می‌شود چون در این شرایط، متابولیتهای Farouk and Al-Amri 2019). گزارش‌های دیگری نیز نشان می‌دهد که تنش شوری در برخی از گونه‌های گیاهی مثل گونه‌های نعناع (Aziz et al. 2008)، ریحان (Ashraf and Orroj 2006) باعث کاهش در محتوای اسانس‌ها بويژه مونوترين‌ها می‌شود. همچنین برعکس در برخی از گونه‌های گیاهی دیگر مثل مرزنجوش، تنش شوری Baghalian et al. 2008). همچنین افزایش در درصد اسانس در مرزه، مریم گلی، Baher et al. 2002). همچنین افزایش در درصد اسانس در مرزه، مریم گلی، Baher et al. 2002; Hendawy and Khalid 2005; Ezz El-Din et al. 2009).

منابع

- Abdollahi Arpanahi A, Feizian M.** 2019. Variation in the essential oil composition and morphological Parameters of *Thymus daenensis* Clack. with two species of mycorrhizal fungi under water deficit conditions. Journal of Essential Oil Bearing Plants 22(3): 675-684.
- Ashraf M, Orooj A.** 2006. Salt stress effects on growth, ion accumulation and seed oil concentration in an arid zone traditional medicinal plant ajwain (*Trachyspermum ammi* [L.] Sprague). J Arid Env 64(2): 209–220.
- Aziz EE, Al-Amier H, Craker LE.** 2008. Influence of salt stress on growth and essential oil production in peppermint, pennyroyal, and apple mint. J Herbs Spices Med Plants 14:77–87.
- Baghalian K, Haghire A, Naghavi MR, Mohammadi A.** 2008. Effect of saline irrigation water on agronomical and phytochemical characters of chamomile (*Matricaria recutita* L.). Scientia Hort 116:437–441
- Baher ZF, Mirza M, Ghorbanli M, Rezaei MB.** 2002. The influence of water stress on plant height, herbal and essential oil yield and composition in *Satureja hortensis* L. Flavour Fragr J 17: 275–277.
- Başkan S, Öztekin N, Erim FB.** 2007. Determination of carnosic acid and rosmarinic acid in sage by capillary electrophoresis. Food Chemistry 101(4): 1748-1752.
- Bistgani ZE, Siadat SA, Bakhshandeh A, Pirbalouti AG, Hashemi M.** 2017. Morpho-physiological and phytochemical traits of *Thymus daenensis* Celak. in response to deficit irrigation and chitosan application. Acta Physiologiae Plantarum 39(10): 231.
- Chang CC, Yang MH, Wen HM, Chern JC.** 2002. Estimation of total flavonoid content in propolis by two complementary colorimetric methods. Journal of food and drug analysis 10(3): 178-182.
- Cheng AX, Lou YG, Mao YB, Lu S, Wang LJ, Chen XY.** 2007. Plant terpenoids: biosynthesis and ecological functions. Journal of Integrative Plant Biology 49(2): 179-186.
- Chomczynski P, Sacchi N.** 1987. Single-step method of RNA isolation by acid guanidinium thiocyanate-phenol-chloroform extraction. Analytical Biochemistry162: 156-159.
- Crocill C, Asbach J, Novak J, Gershenson J, Degenhardt J.** 2010. Terpene synthases of oregano (*Origanum vulgare* L.) and their roles in the pathway and regulation of terpene biosynthesis. Plant Molecular Biology 73(6): 587-603.
- Crocill C.** 2011. Biosynthesis of the phenolic monoterpenes, thymol and carvacrol, by terpene synthases and cytochrome P450s in oregano and thyme. Academic Dissertation, der Biologisch-Pharmazeutischen Fakultät der Friedrich-Schiller-Universität Jena.
- Darvizeh H, Zahedi M, Abaszadeh B, Razmjoo J.** 2018. Effects of Irrigation Regime and Foliar Application of Salicylic Acid and Spermine on the Contents of Essential Oil and Caffeic Acid Derivatives in *Echinacea purpurea* L. Journal of Plant Growth Regulation 37(4): 1267-1285.
- Dudareva N, Andersson S, Orlova I, Gatto N, Reichelt M, Rhodes D, Boland W, Gershenson J.** 2005. The nonmevalonate pathway supports both monoterpene and sesquiterpene formation in snapdragon flowers. Proceedings of the National Academy of Sciences 102(3): 933-938.
- Ezz El-Din AA, Aziz EE, Hendawy SF, Omer EA.** 2009. Response of *Thymus vulgaris* L. to salt stress and alar (B9) in newly reclaimed soil. J Appl Sci Res 5: 2165–2170.
- Farouk S, Al-Amri SM.** 2019. Exogenous melatonin-mediated modulation of arsenic tolerance with improved accretion of secondary metabolite production, activating antioxidant capacity and improved chloroplast ultrastructure in rosemary herb. Ecotoxicology and Environmental Safety 180: 333-347.
- Ghadayeh Zarrinabadi I, Razmjoo J, Abdali Mashhadi A, Karimmojeni H, Tseng TM.** 2019. Irrigation effect on yield and desirable metabolites of pot marigold (*Calendula officinalis* L.) genotypes. Horticulture, Environment, and Biotechnology 60(4): 467-478.
- Ghasemi Pirbalouti A, Hashemi M, Ghahfarokhi FT.** 2013. Essential oil and chemical compositions of wild and cultivated *Thymus daenensis* Celak and *Thymus vulgaris* L. Industrial Crops and Products
- Hall TA.** 1999. BioEdit: a user-friendly biological sequence alignment editor and analysis program for Windows 95/98/NT. Paper presented at theNucleic acids symposium series.
- Hendawy SF, Khalid KhA.** 2005. Response of sage (*Salvia officinalis* L.) plants to zinc application under different salinity levels. J Appl Sci Res 1: 147–155
- Heydari A, Hadian J, Esmaeili H, Kanani MR, Mirjalili MH and Sarkhosh A.** 2019. Introduction of *Thymus daenensis* into cultivation: Analysis of agro-morphological, phytochemical and genetic diversity of cultivated clones. Industrial Crops and Products 131: 14-24.
- Jaafar HZ, Ibrahim MH, Mohamad Fakri NF.** 2012. Impact of soil field water capacity on secondary metabolites, phenylalanine ammonia-lyase (PAL), malondialdehyde (MDA) and photosynthetic responses of Malaysian Kacip Fatimah (*Labisia pumila* Benth). Molecules 17(6): 7305-7322.
- Khalid M, Ur-Rahman S, Bilal M, HUANG DF.** 2019. Role of flavonoids in plant interactions with the environment and against human pathogens-A review. Journal of Integrative Agriculture 18(1): 211-230.
- Lee GW, Lee S, Chung MS, Jeong YS, Chung BY.** 2015. Rice terpene synthase 20 (OsTPS20) plays an important role in producing terpene volatiles in response to abiotic stresses. Protoplasma 252(4): 997-1007.
- Liang C, Wang L, Lei J, Duan B, Ma W, Xiao S, Qi H, Wang Z, Liu Y, Shen X, Guo S.** 2019. A Comparative Analysis of

- the Chloroplast Genomes of Four *Salvia* Medicinal Plants. *Engineering* 5(5): 907-915.
- Lichtenthaler HK.** 1999. The 1-deoxy-D-xylulose-5-phosphate pathway of isoprenoid biosynthesis in plants. *Annual Review of Plant Biology* 50(1): 47-65.
- Lister CE, Lancaster JE, Walker JRL.** 1996. Phenylalanine ammonia-lyase activity and its relationship to anthocyanin and flavonoid levels in New Zealand grown apple cultivars. *Journal of the American Society for Horticultural Science* 121(2): 281-285.
- Livak KJ, Schmittgen TD.** 2001. Analysis of relative gene expression data using real-time quantitative PCR and the 2 $\Delta\Delta CT$ method. *Methods* 25(4): 402-408.
- Majdi M, Malekzadeh-Mashhad A, Maroufi A, Crocoll C.** 2017. Tissue-specific gene-expression patterns of genes associated with thymol/carvacrol biosynthesis in thyme (*Thymus vulgaris* L.) and their differential changes upon treatment with abiotic elicitors. *Plant Physiology and Biochemistry* 115: 152-162.
- Mendes MD, Figueiredo AC, Oliveira MM, Trindade H.** 2013. Essential oil production in shoot cultures versus field-grown plants of *Thymus caespititius*. *Plant Cell, Tissue and Organ Culture (PCTOC)* 113(2): 341-351.
- Mišan AČ, Mimica-Dukić NM, Mandić AI, Sakač MB, Milovanović IL, Sedej IJ.** 2011. Development of a rapid resolution HPLC method for the separation and determination of 17 phenolic compounds in crude plant extracts. *Central European Journal of Chemistry* 9(1): 133-142.
- Mittler R.** 2002. Oxidative stress, antioxidants and stress tolerance. *Trends in Plant Science* 7(9): 405-410.
- Mittova V, Tal M, Volokita M, Guy M.** 2002. Salt stress induces up-regulation of an efficient chloroplast antioxidant system in the salt-tolerant wild tomato species *Lycopersicon pennellii* but not in the cultivated species. *Physiol Plant* 115: 393-400.
- Mohammadi H, Amirikia F, Ghorbanpour M, Fatehi F, Hashempour H.** 2019. Salicylic acid induced changes in physiological traits and essential oil constituents in different ecotypes of *Thymus kotschyana* and *Thymus vulgaris* under well-watered and water stress conditions. *Industrial Crops and Products* 129: 561-574.
- Munns R, Tester M.** 2008. Mechanisms of salinity tolerance. *Annu Rev Plant Biol* 59: 651-681.
- Nabavi SM, Marchese A, Izadi M, Curti V, Daglia M, Nabavi SF.** 2015. Plants belonging to the genus *Thymus* as antibacterial agents: From farm to pharmacy. *Food Chemistry* 173: 339-347.
- Neffati M, Marzouk B.** 2008. Changes in essential oil and fatty acid composition in coriander (*Coriandrum sativum* L.) leaves under saline conditions. *Industrial Crops and Products* 28: 137-142.
- Neto MCL, Lobo AKM, Martins MO, Fontenele AV, Silveira JAG.** 2014. Dissipation of excess photosynthetic energy contributes to salinity tolerance: a comparative study of salt-tolerant *Ricinus communis* and salt-sensitive *Jatropha curcas*. *J Plant Physiol* 171: 23-30.
- Pitarokili D., Constantinidis T., Saitanis, C. and Tzakou, O., 2014.** Volatile compounds in *Thymus* sect. *teucrioides* (Lamiaceae): intraspecific and interspecific diversity, chemotaxonomic significance and exploitation potential. *Chemistry & Biodiversity* 11(4): 593-618.
- Rahimmalek M, Goli SAH.** 2013. Evaluation of six drying treatments with respect to essential oil yield, composition and color characteristics of *Thymus daenensis* subsp. *daenensis*. *Celak leaves*. *Industrial Crops and Products* 42: 613-619.
- Rudolph K, Parthier C, Egerer-Sieber C, Geiger D, Muller YA, Kreis W, Mueller-Ur F.** 2016. Expression, crystallization and structure elucidation of γ -terpinene synthase from *Thymus vulgaris*. *Acta Crystallographica Section F: Structural Biology Communications* 72(1): 16-23.
- Rychlik W.** 2007. OLIGO 7 primer analysis software. In *PCR primer design* (pp. 35-59). Humana Press.
- Said-Al Ahl HAH, Omer EA.** 2011. Medicinal and aromatic plants production under salt stress. A review. *Herba Polonica* 57: 72-87.
- Senatore F, Urrunaga Soria E, Urrunaga Soria R, Della Porta G, De Feo V.** 1998. Essential oils from two Peruvian *Satureja* species. *Flavour and Fragrance Journal* 13(1): 1-4.
- Shayganfar A, Azizi M, Rasouli M.** 2018. Various strategies elicited and modulated by elevated UV-B radiation and protectant compounds in *Thymus* species: Differences in response over treatments, acclimation and interaction. *Industrial Crops and Products* 113: 298-307.
- Shiyab S, Shatnawi M, Shibli R, Al-Zweiri M, Akash M, Aburijai T.** 2012. Influence of developmental stage on yield and composition of *Origanum syriacum* L. oil by multivariate analysis. *Journal of Medicinal Plants Research* 6(15): 2985-2994.
- Singleton VL, Rossi JA.** 1965. Colorimetry of total phenolics with phosphomolybdic-phosphotungstic acid reagents. *American Journal of Enology and Viticulture* 16(3): 144-158.
- Stahl-Biskup E, Sáez F eds.** 2002. Thyme: the genus *Thymus*. CRC Press.
- Taiz L, Zeiger E.** 2002. *Plant Physiology*, 3rd edition. Sinauer Associates Inc., Sunderland, MA, USA, pp. 224.
- Takahashi S, Kuzuyama T, Watanabe H, Seto H.** 1998. A 1-deoxy-D-xylulose 5-phosphate reductoisomerase catalyzing the formation of 2-C-methyl-D-erythritol 4-phosphate in an alternative nonmevalonate pathway for terpenoid biosynthesis. *Proceedings of the National Academy of Sciences* 95(17): 9879-9884.
- Tohidi B, Rahimmalek M, Arzani A.** 2017. Essential oil composition, total phenolic, flavonoid contents, and antioxidant activity of *Thymus* species collected from different regions of Iran. *Food Chemistry* 220: 153-161.
- Trindade H, Pedro LG, Figueiredo AC, Barroso JG.** 2018. Chemotypes and terpene synthase genes in *Thymus* genus: State of the art. *Industrial Crops and Products* 124: 530-547.
- Turtola S, Manninen AM, Rikala R, Kainulainen P.** 2003. Drought stress alters the concentration of wood terpenoids in Scots pine and Norway spruce seedlings. *Journal of Chemical Ecology* 29(9): 1981-1995.

- Wan S, Wang W, Zhou T, Zhang Y, Chen J, Xiao B, Yang Y, Yu Y. 2018.** Transcriptomic analysis reveals the molecular mechanisms of *Camellia sinensis* in response to salt stress. *Plant Growth Regul* 84: 481–492.
- Wang L, Stegemann JP. 2010.** Extraction of high quality RNA from polysaccharide matrices using cetyltrimethylammonium bromide. *Biomaterials* 31(7): 1612-1618.
- Weidner S, Karolak M, Karamac M, Kosinska A, Amarowicz R. 2009.** Phenolic compounds and properties of antioxidants in grapevine roots (*Vitis vinifera* L.) under drought stress followed by recovery. *Acta Societatis Botanicorum Poloniae* 78(2): 97-103.
- Xalxo R, Keshavkant S. 2019.** Melatonin, glutathione and thiourea attenuates lead and acid rain-induced deleterious responses by regulating gene expression of antioxidants in *Trigonella foenum graecum* L. *Chemosphere* 221: 1-10.
- Zhang L, Zhuang H, Zhang Y, Wang L, Zhang Y, Geng Y, Gou Y, Pei S, Wang Y. 2018.** Plants for health: an ethnobotanical 25-year repeat survey of traditional medicine sold in a major marketplace in North-west Yunnan, China. *Journal of Ethnopharmacology* 224: 119-125.

Genetic Engineering and Biosafety Journal
Volume 9, Number 2
2021

Effects of salinity stress on the growth, physiological parameters and genes expression of thymol and carvacrol in *Thymus daenensis*

Foad Fatehi^{1*}, Hamid Mohammadi²

1. Department of Agriculture, Payame Noor University (PNU), Tehran, Iran
2. Faculty of Agriculture, Azarbaijan Shahid Madani University, Tabriz, Iran

*Corresponding Author, Email: fatehi.foad@gmail.com

Abstract

Thymus daenensis Celak. is a perennial plant belonging to the family Lamiaceae that contains various monoterpenes such as thymol and carvacrol. In order to investigate the effect of salinity stress on growth, the content of thymol and carvacrol compounds and the expression of genes involved in the biosynthetic pathway of these compounds, an experiment was conducted in the research greenhouse in the form of a randomized complete block design with three replications. The results showed that salinity stress had a significant effect on the studied traits at a 1% probability level. Salinity stress at the level of 150 mM NaCl caused a significant reduction in plant height, fresh and dry weight and increasing of total phenol, flavonoids contents, PAL enzyme activity. The content of thymol and carvacrol in salinity stress significantly increased. Study of the genes expression involved in the biosynthesis of these compounds indicated that the genes expression of DXR, terpenes synthase, α -terpinene synthase and γ -terpinene synthase increased in comparison to control. These increments of increase in gene expression of DXR compared with other studied genes were much higher. Therefore, it can be concluded that the increase of secondary metabolites in *Thymus daenensis*, thymol and carvacrol, in salinity stress conditions due to increased expression of DXR key gene. It is expected to increase these metabolites in the future with its engineering.

Keywords: Carvacrol, Gene expression, Phenolic compounds, Thymol, *Thymus daenensis* Celak.